

### **COMUNICAÇÃO TÉCNICA**

#### Nº 179653

#### Avaliações preliminares da incrustação de sulfato de bário

Wagner Aldeia Vitória Silva Lourenço Mayara Menezes Caíque Mattos Gabriel Nunes

> Palestra apresentado no Workshop de Métodos Físicos para Mitigação de Incrustações, 6., 2025, Porto Alegre. 20 slides.

A série "Comunicação Técnica" compreende trabalhos elaborados por técnicos do IPT, apresentados em eventos, publicados em revistas especializadas ou quando seu conteúdo apresentar relevância pública. **PROIBIDO REPRODUÇÃO** 

Instituto de Pesquisas Tecnológicas do Estado de São Paulo S/A - IPT
Av. Prof. Almeida Prado, 532 | Cidade Universitária ou Caixa Postal 0141 | CEP 01064-970
São Paulo | SP | Brasil | CEP 05508-901
Tel 11 3767 4374/4000 | Fax 11 3767-4099

www.ipt.br



VI Workshop de Métodos Físicos para Mitigação de Incrustações

AVALIAÇÕES PRELIMINARES DA INCRUSTAÇÃO DE SULFATO DE BÁRIO

Equipe
Wagner Aldeia
Vitória Lourenço
Mayra Menezes
Caíque Mattos
Gabriel Nunes



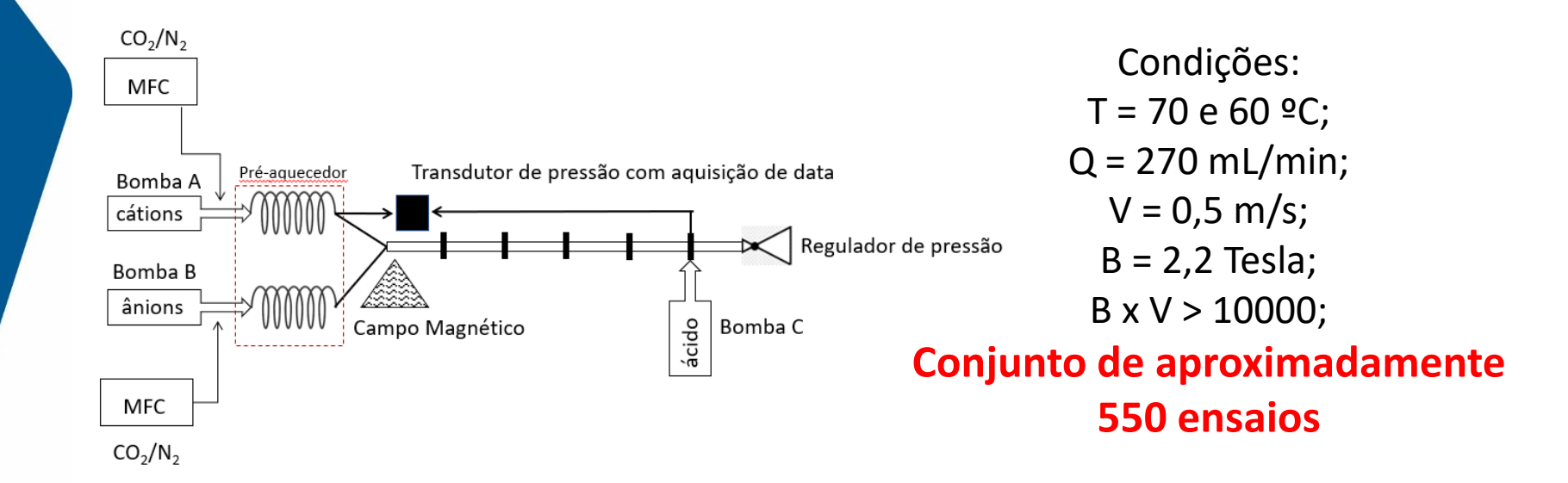


### Sumário

- ✓ Avaliação preliminares:
  - ✓ Incrustação de BaSO₄
  - √ Co-precipitação com CaCO<sub>3</sub>
  - ✓ Efeito do CM na incrustação
  - ✓ Impacto no MIC com e sem CO<sub>2</sub>



### Metodologia - Sistema



- Sistema possibilita análise de massa incrustada e partículas aderidas;
- Separação das partículas aderidas por jateamento de água simulação da força de cisalhamento no escoamento real;
- Análise de massa, análise de sólidos por microscopia ótica ou microscopia eletrônica de varredura.

## Metodologia - Composições das águas avaliadas



- Avaliação de soluções representativas de fundo de poço;
- Mudança da supersaturação com adição do reagente limitante – adição de cloreto de bário;

	Massa precipitável	SI para
	BaSO <sub>4</sub> (mg/h)	Barita
Poço 2 e água do mar	3.208	2,44
Poço 2+mar (alta supersaturação)	9040	3,23
Poço 1	810	2,09
Poço 1 (média supersaturação)	4.520	3,19
Poço 1 (alta supersaturação)	9.040	3,47
Poço 2	10.028	2,05

		Poço 2 e	
(mg/L)	Poço 1	água do	Poço 3
		mar (50/50)	
$Na^{^{+}}$	17803	29253,5	63512
$K^{+}$	263	348	0
$Mg^{2+}$	505	1138	1013
Ca <sup>2+</sup>	674	2362	9436
Ba <sup>2+</sup>	30	116,5	472
Sr <sup>2+</sup>	92	216	3434
Cl⁻	28054	51192	119404
SO <sub>4</sub> <sup>2-</sup>	1456	1421,5	255
Br⁻	18	0	178
HCO <sub>3</sub>	396	0	1626
CH <sub>3</sub> COO <sup>-</sup>	32	6	0
pH (25°C)	7,1	7,25	6

## Metodologia - Composições das águas avaliadas



Mudança da supersaturação com adição do reagente limitante – adição de NaHCO<sub>3</sub>;

	Massa precipitável
	CaCO <sub>3</sub> (mg/h)
Poço 2 normal	0
Poço 2 adição 4,7 g NaHCO₃/18L	1.247
Poço 2 adição 77 g NaHCO₃/18L	40.412
Poço 1 normal	5.087
Poço 1 s/ NaHCO₃	0
Poço 3	21.546
<u> </u>	<u> </u>

		Poço 2 e	
(mg/L)	Poço 1	água do	Poço 3
		mar (50/50)	
$Na^{\scriptscriptstyle+}$	17803	29253,5	63512
K <sup>+</sup>	263	348	0
$Mg^{2+}$	505	1138	1013
Ca <sup>2+</sup>	674	2362	9436
Ba <sup>2+</sup>	30	116,5	472
Sr <sup>2+</sup>	92	216	3434
Cl	28054	51192	119404
SO <sub>4</sub> <sup>2-</sup>	1456	1421,5	255
Br⁻	18	0	178
HCO <sub>3</sub>	396	0	1626
CH <sub>3</sub> COO <sup>-</sup>	32	6	0
pH (25°C)	7,1	7,25	6



■ 40°C

■ 70°C

#### SS de $BaSO_4 = 810 \text{ mg/h}$ SS de $CaCO_3 = 0$

Poço 1 s/ NaHCO₃	Massa total (mg/h)	Massa incrustada (mg/h)
SC	250,1 ± 1	216,8 ± 16
СС	242,3 ± 8	208,6 ± 5
SC c/CO <sub>2</sub>	188,9 ± 7	170,6 ± 31
CC c/ CO <sub>2</sub>	230,2 ± 1	189 ± 4

SS de BaSO $_4$ = 810 mg/h	
SS de $CaCO_3 = 0$	

Poço 1 s/ NaHCO₃	Massa total (mg/h)	Massa incrustada (mg/h)
SC	262,8 ± 0,5	224,0 ± 0,1
СС	267,7 ± 7	194,9 ± 8
SC c/CO <sub>2</sub>	269,28 ± 4 244,32 ± 8	275,88 ± 0,2 210,24 ± 3

#### SS de $BaSO_4 = 810 \text{ mg/h}$ SS de $CaCO_3 = 0$

Poço 1 s/ NaHCO₃	Massa total (mg/h)	Massa incrustada (mg/h)
SC	292,1 ± 25	227,64 ± 9
СС	321,1 ± 18	246,36 ± 24
SC c/CO <sub>2</sub>	367,4 ± 33	278,8 ± 3
CC c/ CO <sub>2</sub>	364,4 ± 12	299,9 ± 5

#### ■ 80°C

#### SS de $BaSO_4 = 810 \text{ mg/h}$ SS de $CaCO_2 = 0$

Poço 1 s/ NaHCO₃	Massa total (mg/h)	Massa incrustada (mg/h)
SC	298,3 ± 3	238,7 ± 2
сс	328,4 ± 1	271,0 ± 0,2
SC c/CO <sub>2</sub> CC c/ CO <sub>2</sub>	390,5 ± 14 332,5 ± 14	311,4 ± 1 255,1 ± 3

- Ocorre um discreto aumento da massa incrustada com o aumento da temperatura.
- O CM não apresenta efeitos, tanto sem quanto com o dióxido de carbono.
- Exceto 40º C, aparentemente o dióxido de carbono aumenta a massa de barita incrustada.

SI barita = 2,09 (SSP 2021)



SI barita = 2,44 (SSP 2021)

■ 60°C

SS de BaSO<sub>4</sub> = 3.208 mg/hSS de CaCO<sub>3</sub> = 0

Poço 2 normal	Massa total (mg/h)	Massa incrustada (mg/h)
SC	1139,7 ± 27	793,8 ± 19
СС	1073,7 ± 21	771 ± 64
SC c/CO <sub>2</sub>	1188,9 ± 26	1043,4 ± 9
CC c/ CO <sub>2</sub>	1178,4 ± 16	1064,4 ± 6

■ 70ºC

SS de BaSO<sub>4</sub> = 3.208 mg/hSS de CaCO<sub>3</sub> = 0

Poço 2 normal	Massa total (mg/h)	Massa incrustada (mg/h)
SC	1078,0 ± 42	780,32 ± 125
СС	1089,3 ± 45	796,52 ± 147
SC c/CO <sub>2</sub>	1219,6 ± 40	792,7 ± 17
CC c/ CO <sub>2</sub>	1187,4 ± 23	778,3 ± 127

- O CM não apresenta efeitos nas massas incrustadas.
- O dióxido de carbono aumenta a massa incrustada em menor temperatura.



SI barita = 2,44 (SSP 2021)

■ 70 ºC

SS de BaSO<sub>4</sub> = 3.208 mg/hSS de CaCO<sub>3</sub> = 0 SI barita = 3,23 (SSP 2021)

■ 70 ºC

SS de BaSO<sub>4</sub> = 9.040 mg/hSS de CaCO<sub>3</sub> = 0

Poço 2 normal	Massa total (mg/h)	Massa incrustada (mg/h)	Poço 2 supersaturada	Massa total (mg/h)	Massa incrustada (mg/h)
SC	1078,0 ± 42	780,32 ± 125	SC	5120 ± 118	1191 ± 117
СС	1089,3 ± 45	796,52 ± 147	СС	4753 ± 444	1229 ± 89
SC c/CO <sub>2</sub>	1219,6 ± 40	792,7 ± 17	SC c/CO <sub>2</sub>	5002	2188
CC c/ CO <sub>2</sub>	1187,4 ± 23	778,3 ± 127	CC c/ CO <sub>2</sub>	4491 ± 234	2009 ± 35

- O CM não apresenta efeitos nas massas incrustadas.
- O dióxido de carbono aumenta a massa incrustada em maior SI



Selecionando esta condição e variando a massa precipitável de CaCO<sub>3</sub>

■ 40°C

■ 60°C

SS de BaSO<sub>4</sub> = 810 mg/h SS de CaCO<sub>3</sub> = 5.087 mg/h SS de BaSO<sub>4</sub> = 810 mg/h SS de CaCO<sub>3</sub> = 5.087 mg/h SS de BaSO<sub>4</sub> = 810 mg/h SS de CaCO<sub>3</sub> = 5.087 mg/h

■ 70ºC

Poço 1 normal (SS 50 mg/L)	Massa total (mg/h)	Massa incrustada (mg/h)	Poço 1 normal (SS 50 mg/L)	Massa total (mg/h)	Massa incrustada (mg/h)	Poço 1 normal (SS 50 mg/L)	Massa total (mg/h)	Massa incrustada (mg/h)
SC	166,1 ± 6	137,2 ± 2	SC	324 ± 23	236,7 ± 5 2	SC	378,3 ± 12	102,2 ± 5
CC	205,3 ± 12	177,5 ± 5	СС	338,8 ± 47	196,6 ± 5	СС	378 ± 13	155,4 ± 1
SC c/CO <sub>2</sub>	201,6 ± 15	160,7 ± 7	SC c/CO <sub>2</sub>	312,6 ± 6	254,2 ± 9	SC c/CO <sub>2</sub>	415,7 ± 41	236,8 ± 30
CC c/ CO <sub>2</sub>	239 ± 16	217,3 ± 18	CC c/ CO <sub>2</sub>	267,6 ± 8	252,1 ± 9	CC c/ CO <sub>2</sub>	417,6 ± 55	280,6 ± 28

- A massa total precipitada aumenta com o aumento da temperatura.
- A massa incrustada aumenta de 40 para 60 ºC (calcita), e diminui, sem CO2, em 70 ºC (aragonita).
- Com CO<sub>2</sub> em temperatura de 70 ºC, ocorre um aumento das massas incrustadas.



■ 70°C

SS de BaSO<sub>4</sub> = 810 mg/h SS de CaCO<sub>3</sub> = 0

MLS s/ NaHCO₃	Massa total (mg/h)	incrustada (mg/h)		
SC	292,1 ± 25	227,64 ± 9		
CC	321,1 ± 18	246,36 ± 24		
SC c/CO <sub>2</sub>	367,4 ± 33	278,8 ± 3		
CC c/ CO <sub>2</sub>	364,4 ± 12	299,9 ± 5		

■ 70°C

SS de BaSO<sub>4</sub> = 810 mg/h SS de CaCO<sub>3</sub> = 1247 mg/h

MLS s/ NaHCO₃	Massa total (mg/h)	Massa incrustada (mg/h)	
SC	292,4 ± 2	222,5 ± 26	
CC	259,6 ± 5	225,7 ± 4	
SC c/CO <sub>2</sub>	298,9 ± 12 285,8 ± 23	267,4 ± 0,5 254,3 ± 8	

■ 70°C

SS de BaSO<sub>4</sub> = 810 mg/h SS de CaCO<sub>3</sub> = 5.087 mg/h

MLS normal (SS 50 mg/L)	Massa total (mg/h)	Massa incrustada (mg/h)
SC	378,3 ± 12	102,2 ± 5
CC	378 ± 13	155,4 ± 1
SC c/CO <sub>2</sub>	415,7 ± 41	236,8 ± 30
CC c/ CO <sub>2</sub>	417,6 ± 55	280,6 ± 28

- Maior massa de CaCO<sub>3</sub> reduz a massa incrustada do bário comparada sem CaCO<sub>3</sub>
- O CO<sub>2</sub> aumenta a massa de sólidos incrustados

1/10000



Mesmo efeito é verificado em outros poços e, depende da relação CaCO<sub>3</sub>/BaSO<sub>4</sub>

#### ■ 60ºC

SS de BaSO<sub>4</sub> = 3.208 mg/hSS de CaCO<sub>3</sub> = 0 SS de BaSO<sub>4</sub> = 3.208 mg/hSS de CaCO<sub>3</sub> = 1.247 mg/h SS de BaSO<sub>4</sub> = 3.208 mg/hSS de CaCO<sub>3</sub> = 20.625 mg/h

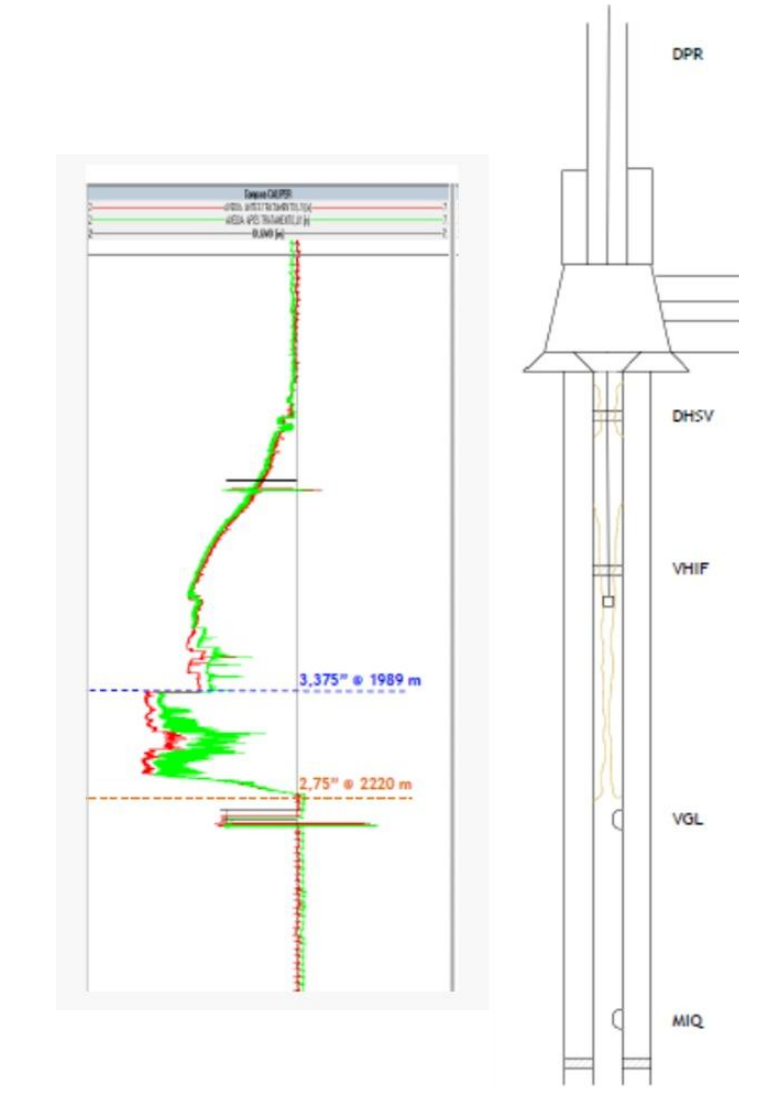
Poço 2 normal (SS 198 mg/L)	Massa total (mg/h)	Massa incrustada (mg/h)	Poço 2 de CaCO 77 mg/
SC	1139,7 ± 27	793,8 ± 19	SC
СС	1073,7 ± 21	771 ± 64	СС
SC c/CO₂	1188,9 ± 26	1043,4 ± 9	SC c/C
CC c/ CO₂	1178,4 ± 16	1064,4 ± 6	CC c/ C

Massa incrustada (mg/h)	
761,6 ± 30	
779,5 ± 3	
988,8 ± 47	
884,7 ± 52	
988,8 ±	

Poço 2 (SS de CaCO $_3$ = 630 mg/L)	Massa total (mg/h)	Massa incrustada (mg/h)	
SC	1895 ± 341	1657,2 ± 105	
CC	2162 ± 79	1845 ± 157	
SC c/CO <sub>2</sub>	1322 ± 200 1150 ± 60	896 ± 5 992 ± 187	



Perfil de incrustação da barita no caso do Poço 1





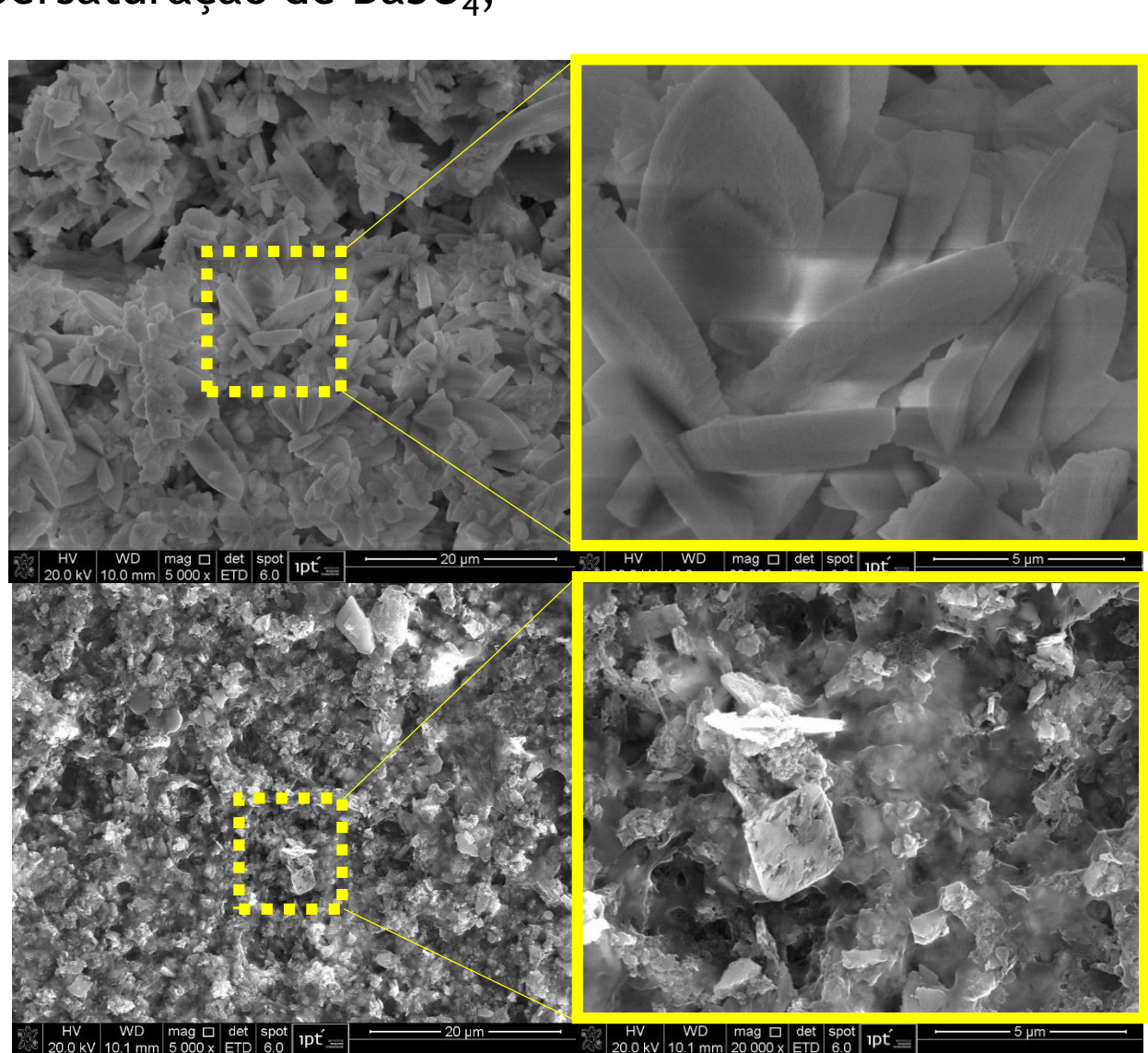
### Resultados - Morfologia

✓ Variação da supersaturação de BaSO<sub>4</sub>;

279 mg/L

sem CO<sub>2</sub> – SEM CAMPO (partículas retiradas pela Wap)

50 mg/L



### Resultados - Morfologia

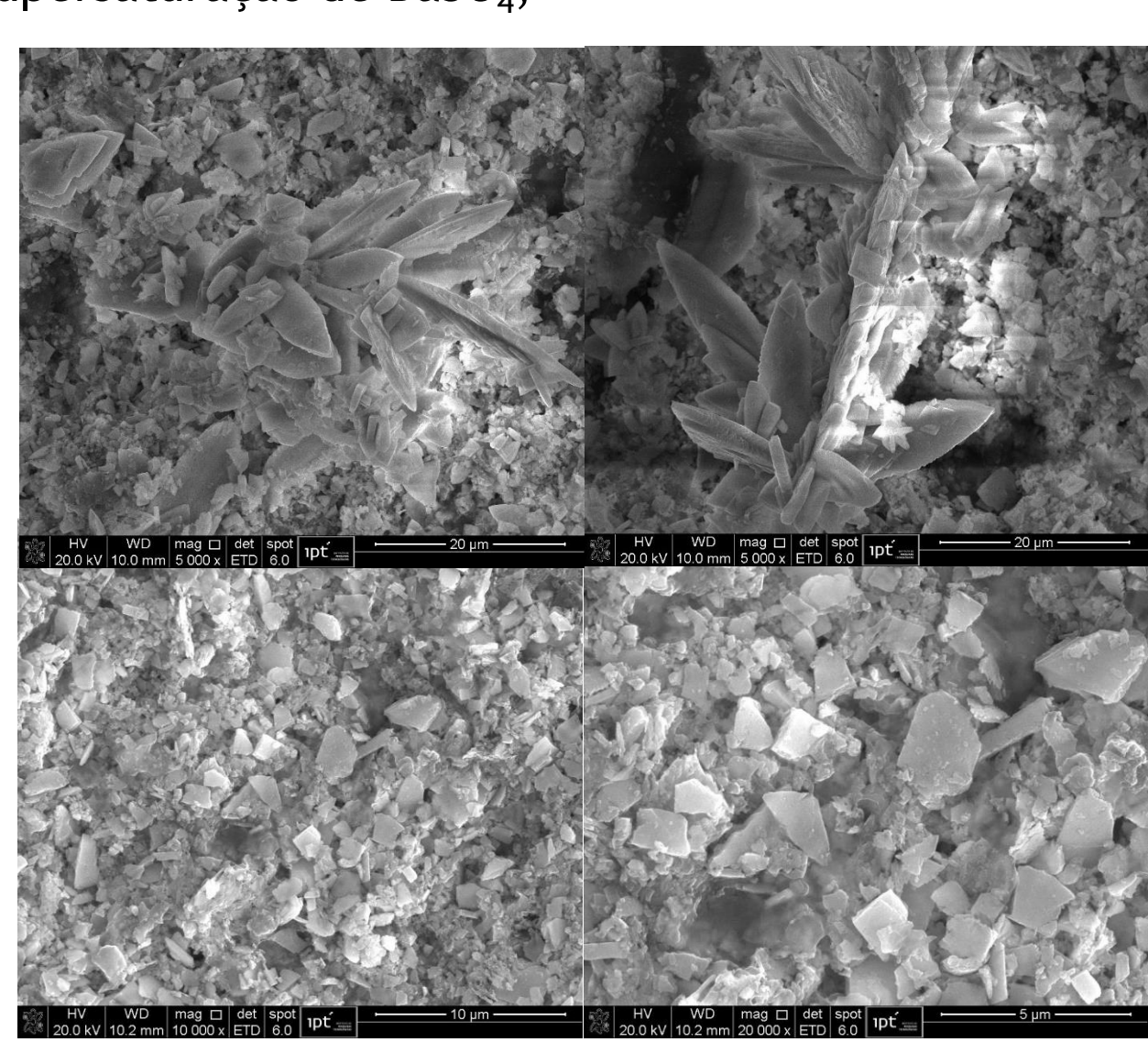


✓ Variação da supersaturação de BaSO₄;

279 mg/L

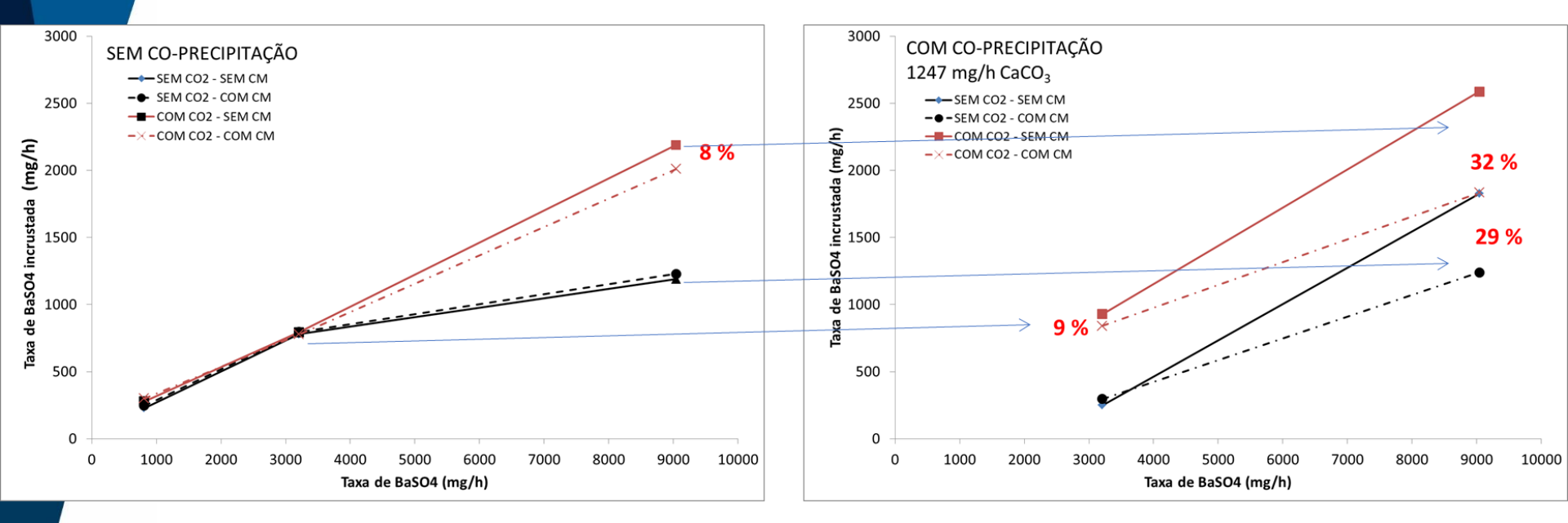
sem CO<sub>2</sub> – COM CAMPO (partículas retiradas pela Wap)

50 mg/L



### Visão geral - Co-precipitação em baixa SS

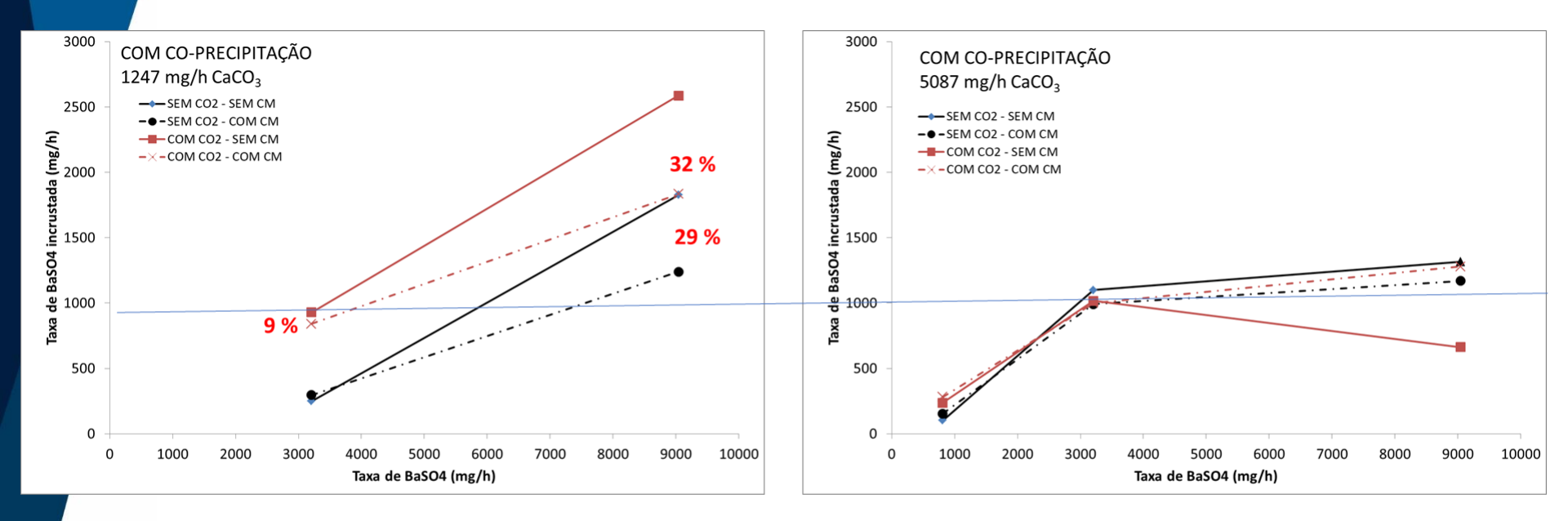




Com co-precipitação e concentração baixa de CaCO3, com CO2, o carbonato de cálcio fica dissolvido e o comportamento assume a situação de isenção de carbonato.

### Visão geral - Co-precipitação em alta SS

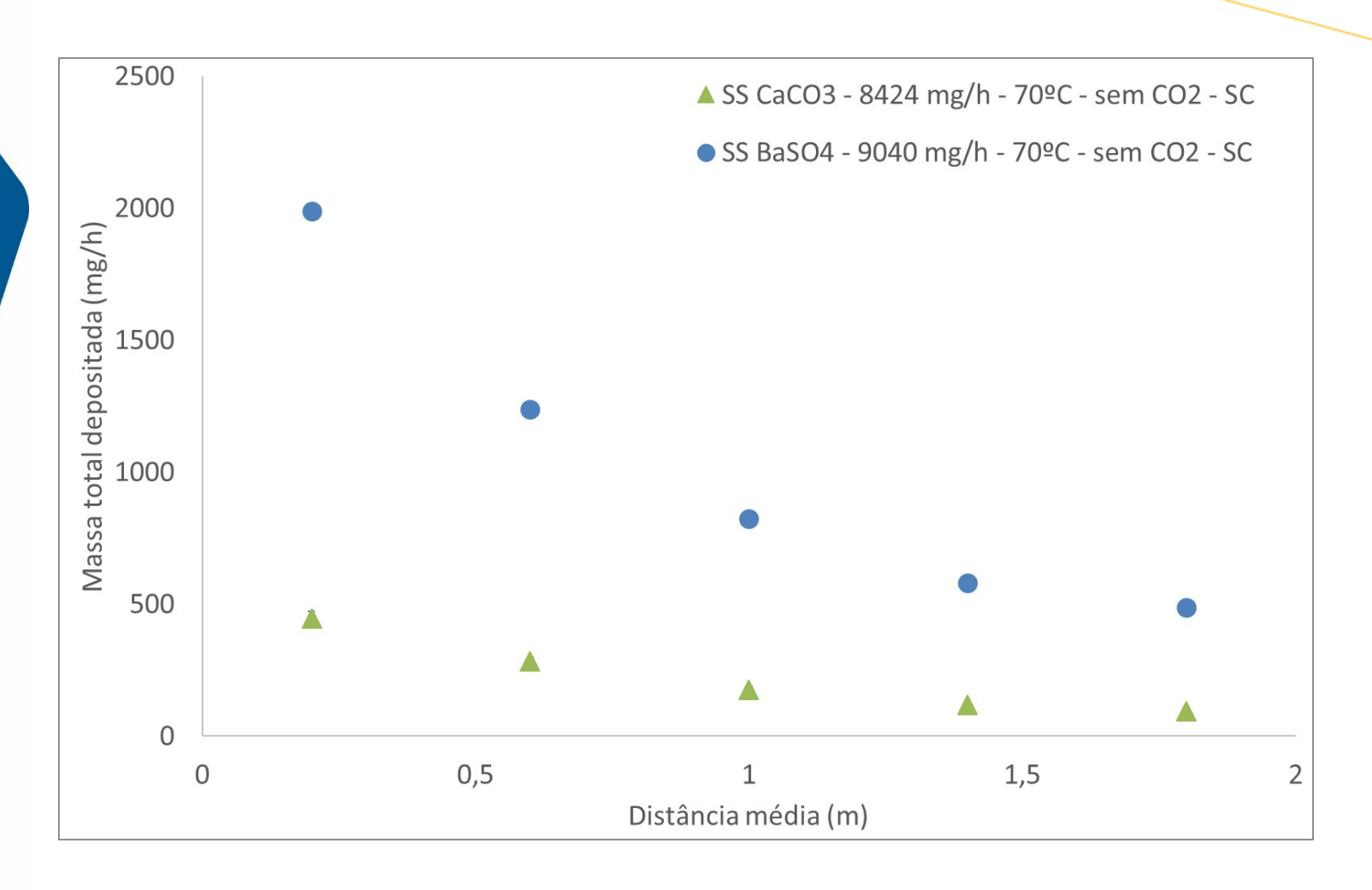




Aparentemente a elevada taxa de carbonato na fase aragonita reduz a incrustação de maneira geral (carbonato e barita).





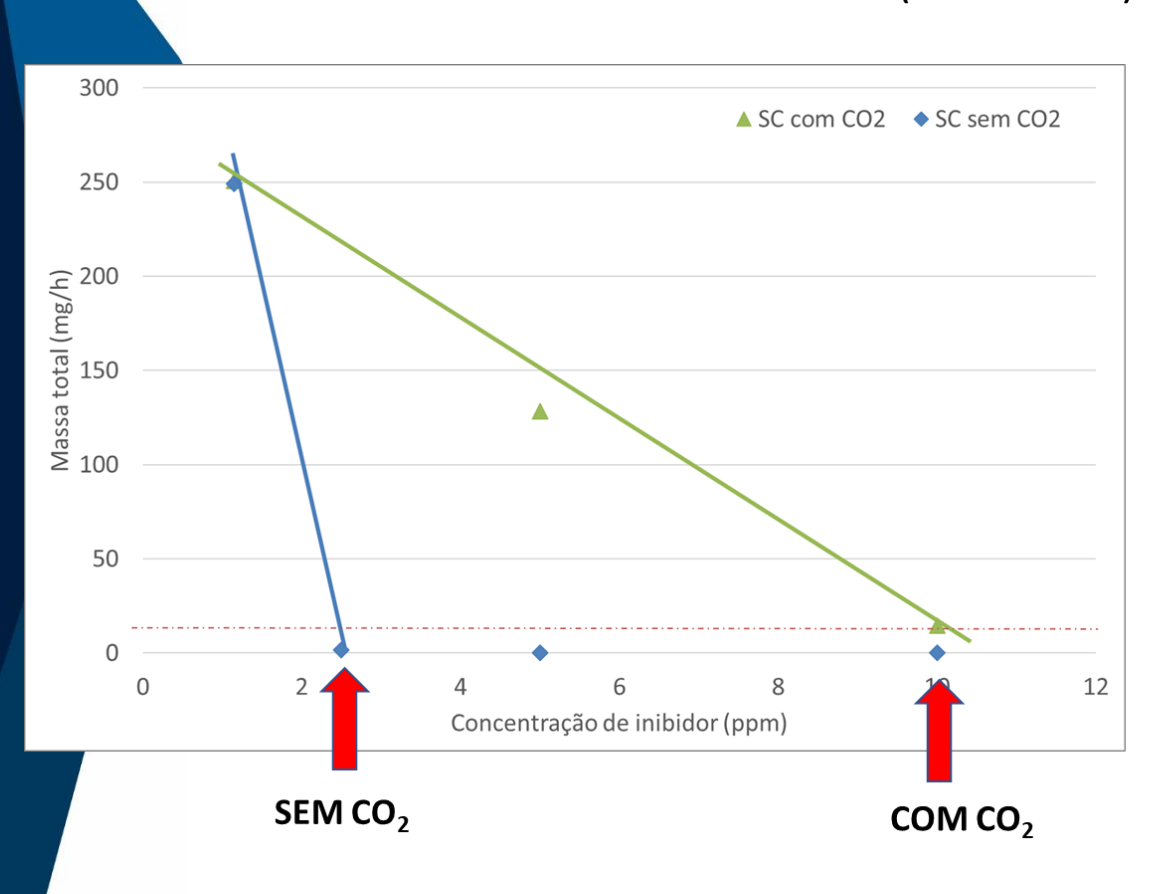


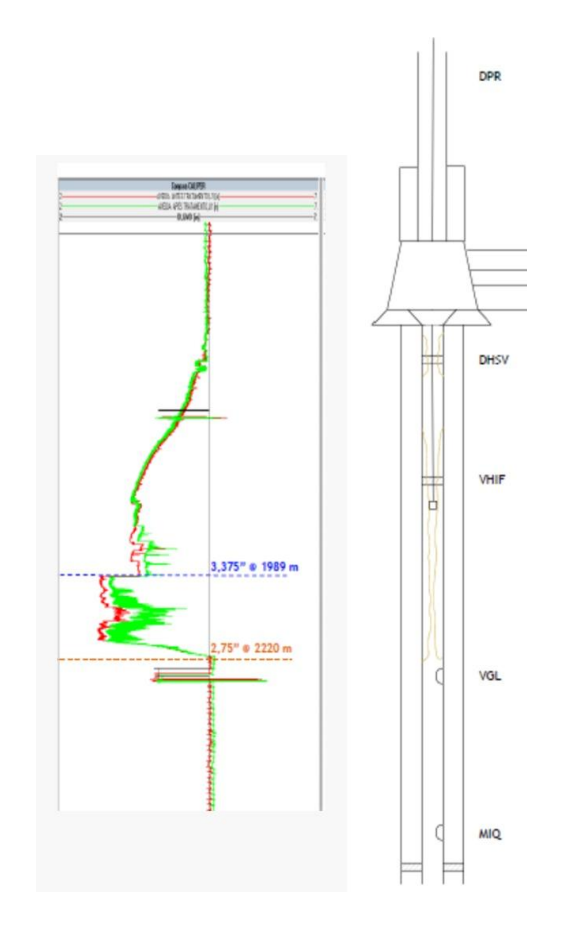
BaSO<sub>4</sub> é superior à do CaCO<sub>3</sub>





Dequest® 2090 - polyamino phosphonic acid based on bishexamethylene triamine (BHMTPMP).





Válvula de gás lift

### Conclusões



#### Dentre os cenários estudados:

- O campo magnético não apresentou nenhum efeito interessante em termos de atuação nos mecanismos de incrustação do sulfato de bário, exceto quando a ocorre co-precipitação e altas supersaturações de carbonato de cálcio. Este efeito pode estar associado SOMENTE aos efeitos do campo magnético na incrustação do carbonato de cálcio;
- A co-precipitação de carbonato de cálcio e sulfato de bário, altera a massa de sulfato de bário incrustada.
- O efeito positivo ou negativo da ação do campo magnético depende da relação CaCO<sub>3</sub>/BaSO<sub>4.</sub>
- Em situações com pH ácido (corrente de CO<sub>2</sub>), sugere-se que o MIC seja determinado considerando pH ácidos.



## Obrigado!